

## ПОЄДНАННЯ ПЕРЕВАГ ПОЛЯРИЗАЦІЙНО-ОПТИЧНОГО ТА ІНТЕРФЕРОМЕТРИЧНОГО МЕТОДІВ ДЛЯ ВИЗНАЧЕННЯ АБСОЛЮТНИХ П'ЄЗООПТИЧНИХ КОЕФІЦІЄНТІВ РОМБІЧНИХ КРИСТАЛІВ

Дем'янишин Н. М.

*Фізико-механічний інститут ім. Г. В. Карпенка,  
вул. Наукова 5, Львів, 79601, Україна*

*(Отримано 30 вересня 2013 р.)*

На прикладі кристалів борату стронцію описано метод визначення абсолютнох п'єзооптичних коефіцієнтів ромбічних кристалів на основі п'єзооптичних коефіцієнтів різниці ходу, які визначено поляризаційно-оптичним методом. Записано відповідні співвідношення. Показано, що для знаходження всіх дванадцяти абсолютнох п'єзооптичних коефіцієнтів необхідно провести також три інтерферометричні вимірювання.

**Ключові слова:** поляризаційно-оптичний метод, п'єзооптичні коефіцієнти, ромбічні кристали.

**PACS:** 78.20 Hp

**УДК:** 548.0:515.511

### Вступ

Для визначення абсолютнох п'єзооптичних коефіцієнтів (ПОК), тобто коефіцієнтів, що описують зміни показників заломлення оптичного матеріалу та повороти оптичної індикаториси, під дією механічних напружень, використовуються інтерферометричні методи [1–3]. Ці методи є трудомісткими, особливо під час вивчення п'єзооптичного ефекту в анізотропних матеріалах, а надто у випадках незначної непаралельності оптичних граней досліджуваного зразка [3–6]. Тому спроби отримати абсолютноні п'єзооптичні коефіцієнти  $\pi_{im}$  (індекси  $i, m$  відповідають напрямкам поляризації світла та дії одновісного тиску, відповідно) на основі поляризаційно-оптичних вимірювань робляться не вперше. Поляризаційно-оптичні вимірювання простіші порівняно з інтерферометричними [3, 7–9]. Проте в літературі вдалих прикладів визначення абсолютнох ПОК поляризаційно-оптичним методом є небагато. Вони обмежуються визначенням діагональних поворотно-зсувних ПОК тетрагональних і кубічних кристалів [10–15].

Прикладом визначення абсолютнох ПОК  $\pi_{im}$  за допомогою вимірювань ПОК різниці ходу  $\pi_{km}^{\circ}$  є результати вивчення ПОЕ кристалів сегнетової солі [16], які належать до ромбічного класу симетрії 222. Підкresлимо, що для отримання всіх абсолютнох ПОК автори [16] визначили також шість головних ПОК інтерферометричним методом і, крім того, акустооптичним методом знайшли відношення деяких пружнооптичних коефіцієнтів  $p_{in}$  та перевірили ці

відношення на основі ПОК  $\pi_{im}$ , використовуючи тензорний вираз  $p_{in} = \pi_{im} C_{mn}$  ( $C_{mn}$  – коефіцієнти пружної жорсткості) [8, 17].

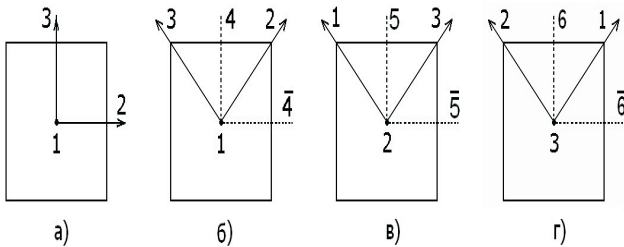
Однак, в роботах [18–20] стверджується, що матрицю абсолютнох п'єзооптичних коефіцієнтів тригональних та ромбічних кристалів можна заповнити на основі лише поляризаційно-оптичних вимірювань. Проте в роботі [21] показано, що для знаходження усіх восьми абсолютнох ПОК  $\pi_{im}$  тригональних кристалів (класи симетрії 32, 3m,  $\bar{3}m$ ) поляризаційно-оптичним методом необхідно провести також два інтерферометричні вимірювання. У цій роботі доведено, що у випадку заповнення матриці абсолютнох коефіцієнтів ПОК ромбічних кристалів необхідно провести як мінімум три інтерферометричні вимірювання ПОК  $\pi_{im}$ .

### I. Основні співвідношення та їх аналіз

Скористаємося відомим виразом взаємозв'язку між ПОК різниці ходу  $\pi_{km}^{\circ}$  та абсолютноми ПОК  $\pi_{im}$  [9, 21]:

$$\pi_{km}^{\circ} = \pi_{im} n_i^3 - \pi_{jm} n_j^3 - 2\Delta \Delta n_k S_{km}, \quad (1)$$

де  $\Delta n_k$  – двозаломлення кристала в напрямку поширення світла  $k$ ,  $S_{km}$  – коефіцієнти пружної податливості кристала.



Схеми зразків для вивчення ПОЕ в ромбічних кристалах: а) – зразок прямих зрізів, б) –  $45^\circ/X$ -зрізу, в) –  $45^\circ/Y$ -зрізу, г) –  $45^\circ/Z$ -зрізу

Матриця п'зооптичних коефіцієнтів ромбічних кристалів містить дванадцять незалежних ПОК  $\pi_{im}$ : дев'ять головних ( $i, m = 1, 2, 3$ ) та три діагональних поворотно-зсувних ( $i = m = 4, 5, 6$ ) коефіцієнти [3, 8]. Спочатку на основі (1) запишемо розрахункові співвідношення для визначення головних ПОК ромбічних кристалів  $\pi_{11}, \pi_{12}, \pi_{13}, \pi_{21}, \pi_{22}, \pi_{23}, \pi_{31}, \pi_{32}$  та  $\pi_{33}$  на зразку прямих зрізів (грані зразка перпендикулярні кристалооптичним осям  $X_1, X_2, X_3$ , див. рисунок а) із врахуванням пружності та правила перестановки індексів  $1 \rightarrow 2 \rightarrow 3 \rightarrow 1$ :

$$\pi_{21}^o = \pi_{31}n_3^3 - \pi_{11}n_1^3 - 2\Delta n_2S_{12}, \quad (2)$$

$$\pi_{31}^o = \pi_{11}n_3^3 - \pi_{21}n_2^3 - 2\Delta n_3S_{13}, \quad (3)$$

$$\pi_{12}^o = \pi_{22}n_2^3 - \pi_{32}n_3^3 - 2\Delta n_1S_{12}, \quad (4)$$

$$\pi_{32}^o = \pi_{12}n_1^3 - \pi_{22}n_2^3 - 2\Delta n_3S_{23}, \quad (5)$$

$$\pi_{13}^o = \pi_{23}n_2^3 - \pi_{33}n_3^3 - 2\Delta n_1S_{13}, \quad (6)$$

$$\pi_{23}^o = \pi_{33}n_3^3 - \pi_{13}n_1^3 - 2\Delta n_2S_{23}. \quad (7)$$

Цих виразів недостатньо для визначення дев'ятьох відповідних ПОК  $\pi_{im}$ . У [8] додатково записано три рівняння для визначення головних ПОК  $\pi_{im}$  на зразках  $45^\circ/X$ ,  $45^\circ/Y$  – та  $45^\circ/Z$ -зрізів (грані перпендикулярні осям, що становлять кут  $45^\circ$  з кристалооптичними осями  $X_2, X_3; X_1, X_3$  та  $X_1, X_2$  відповідно, див. рисунок б–г). Перепишемо ці рівняння з врахуванням правила взаємодії індексів  $k$  та  $i, j$  для зразків  $45^\circ$  – зрізів [4, 5]:  $1 \rightarrow 4 \rightarrow \bar{4} \rightarrow 1$ ;  $2 \rightarrow 5 \rightarrow \bar{5} \rightarrow 2$ ;  $3 \rightarrow 6 \rightarrow \bar{6} \rightarrow 3$  (зміст напрямків 4 та  $\bar{4}$ , 5 та  $\bar{5}$ , 6 та  $\bar{6}$  зрозумілий із рис. 1 б–г):

$$\pi_{41}^o = \frac{1}{2}(\pi_{21} + \pi_{31})n_4^3 - \pi_{11}n_1^3 - \Delta n_4(S_{12} + S_{13}), \quad (8)$$

$$\pi_{52}^o = \frac{1}{2}(\pi_{32} + \pi_{12})n_5^3 - \pi_{22}n_2^3 - \Delta n_5(S_{12} + S_{23}), \quad (9)$$

$$\pi_{63}^o = \frac{1}{2}(\pi_{13} + \pi_{23})n_6^3 - \pi_{33}n_3^3 - \Delta n_6(S_{13} + S_{23}), \quad (10)$$

де  $n_4, n_5, n_6$  – показники заломлення в напрямках поляризації світла  $i = \bar{4}, \bar{5}, \bar{6}$ , які визначаються за виразами:  $n_4 = \sqrt{2}n_2n_3/(n_2^2 + n_3^2)^{1/2}$ ,  $n_5 = \sqrt{2}n_1n_3/(n_1^2 + n_3^2)^{1/2}$ ,  $n_6 = \sqrt{2}n_1n_2/(n_1^2 + n_2^2)^{1/2}$  [3, 9];  $\Delta n_4 = n_4 - n_1$ ,  $\Delta n_5 = n_5 - n_2$ ,  $\Delta n_6 = n_6 - n_3$  – дзвозаломлення в напрямках поширення світла  $k = 4, 5, 6$ , відповідно.

Неголовні діагональні ПОК  $\pi_{44}, \pi_{55}$  та  $\pi_{66}$  розраховуються із ПОК різниці ходу  $\pi_{km}^o$ , визначених на

зразках  $45^\circ$ -зрізів поляризаційно-оптичним методом для умов поширення світла в напрямках  $k = 4, 5, 6$  та дії тиску в напрямках  $m = \bar{4}, \bar{5}, \bar{6}$  (рис. 1) на основі співвідношень [8]:

$$\begin{aligned} \pi_{44}^o &= \frac{1}{4}n_4^3(\pi_{22} + \pi_{23} + \pi_{32} + \pi_{33} + 2\pi_{44}) - \\ &- \frac{1}{2}n_1^3(\pi_{12} + \pi_{13}) - \frac{1}{2}\Delta n_4(S_{22} + 2S_{23} + S_{33} - S_{44}), \quad (11) \end{aligned}$$

$$\begin{aligned} \pi_{55}^o &= \frac{1}{4}n_5^3(\pi_{11} + \pi_{13} + \pi_{31} + \pi_{33} + 2\pi_{55}) - \\ &- \frac{1}{2}n_2^3(\pi_{21} + \pi_{23}) - \frac{1}{2}\Delta n_5(S_{11} + 2S_{13} + S_{33} - S_{55}), \quad (12) \end{aligned}$$

$$\begin{aligned} \pi_{66}^o &= \frac{1}{4}n_6^3(\pi_{11} + \pi_{12} + \pi_{21} + \pi_{22} + 2\pi_{66}) - \\ &- \frac{1}{2}n_3^3(\pi_{31} + \pi_{32}) - \frac{1}{2}\Delta n_6(S_{11} + 2S_{12} + S_{22} - S_{66}). \quad (13) \end{aligned}$$

Вирази (2)–(13) становлять систему з дванадцяти рівнянь з дванадцятьма невідомими абсолютною ПОК  $\pi_{im}$ .

Як видно з формул (2)–(13) три абсолютно неголовні ПОК  $\pi_{44}, \pi_{55}$  та  $\pi_{66}$  розраховуються з трьох незалежних рівнянь (11)–(13) і визначити їх можна лише за умови, коли головні абсолютно ПОК  $\pi_{im}$  уже відомі. Тому проаналізуємо систему рівнянь для головних абсолютно ПОК  $\pi_{im}$  (2)–(10) і перевіримо, чи можна на основі цих рівнянь визначити всі дев'ять головних ПОК  $\pi_{im}$  ромбічних кристалів.

Для цього дев'ять рівнянь системи (2)–(10) з дев'ятьма невідомими розіб'ємо на три системи по три рівняння з трьома невідомими абсолютною ПОК  $\pi_{im}$ : (2), (3), (8); (4), (5), (9) та (6), (7), (10). Розв'яжемо одну з таких систем, наприклад, першу. Залишимо в лівій частині рівнянь (2), (3), (8) вирази з абсолютною ПОК  $\pi_{im}$ , а в правій – ПОК різниці ходу  $\pi_{km}^o$  і пружний внесок  $2\Delta n_k S_{km}$  в коефіцієнт  $\pi_{km}^o$ :

$$\pi_{31}n_3^3 - \pi_{11}n_1^3 = \pi_{21}^o + 2\Delta n_2S_{12}, \quad (14)$$

$$\pi_{11}n_1^3 - \pi_{21}n_2^3 = \pi_{31}^o + 2\Delta n_3S_{13}, \quad (15)$$

$$\frac{1}{2}(\pi_{21} + \pi_{31})n_4^3 - \pi_{11}n_1^3 = \pi_{41}^o + \Delta n_4(S_{12} + S_{13}). \quad (16)$$

З перших двох рівнянь визначимо два абсолютно ПОК  $\pi_{21}$  та  $\pi_{31}$  і підставимо їх в третє рівняння:

$$\begin{aligned} \pi_{31} &= (\pi_{21}^o + 2\Delta n_2S_{12} + \pi_{11}n_1^3)/n_3^3 = \\ &= \frac{\pi_{21}^o}{n_3^3} + 2S_{21}\frac{\Delta n_2}{n_3^3} + \pi_{11}\frac{n_1^3}{n_3^3}, \quad (17) \end{aligned}$$

$$\begin{aligned} \pi_{21} &= -(\pi_{31}^o + 2\Delta n_3S_{13} - \pi_{11}n_1^3)/n_2^3 = \\ &= \pi_{11}\frac{n_1^3}{n_2^3} - \frac{\pi_{31}^o}{n_2^3} - 2S_{13}\frac{\Delta n_3}{n_2^3}, \quad (18) \end{aligned}$$

$$\begin{aligned} \frac{1}{2} \left( \pi_{11}\frac{n_1^3}{n_2^3} - \frac{\pi_{31}^o}{n_2^3} - 2S_{13}\frac{\Delta n_3}{n_2^3} + \frac{\pi_{21}^o}{n_3^3} + 2S_{21}\frac{\Delta n_2}{n_3^3} + \right. \\ \left. + \pi_{11}\frac{n_1^3}{n_3^3} \right) n_4^3 - \pi_{11}n_1^3 = \pi_{41}^o + \Delta n_4(S_{12} + S_{13}). \quad (19) \end{aligned}$$

Розв'яжемо останнє рівняння відносно абсолютного ПОК  $\pi_{11}$ :

$$\begin{aligned} \pi_{11} \left[ n_4^3 \left( \frac{n_3^3 + n_2^3}{2n_3^3 n_2^3} \right) - 1 \right] &= \frac{\pi_{41}^\circ}{n_1^3} + (S_{12} + S_{13}) \frac{\Delta n_4}{n_1^3} + \\ &+ \pi_{31}^\circ \frac{n_4^3}{2n_2^3 n_1^3} + S_{13} \frac{\Delta n_3 n_4^3}{n_2^3 n_1^3} - \pi_{21}^\circ \frac{n_4^3}{2n_3^3 n_1^3} - S_{21} \frac{\Delta n_2 n_4^3}{n_3^3 n_1^3}. \end{aligned} \quad (20)$$

Підставивши в (20) значення показників заломлення, легко переконатись, що вираз у квадратних дужках дорівнює нулю. Аналогічний результат отримуємо, розв'язуючи цю систему рівнянь відносно інших головних ПОК:  $\pi_{21}$  чи  $\pi_{31}$ . Тобто, рівняння (2), (3), (8) є взаємозалежними. Тому для визначення цих ПОК на основі вказаних рівнянь, необхідно провести хоча б одне інтерферометричне вимірювання і знайти відповідний абсолютний ПОК  $\pi_{im}$  ( $\pi_{11}$ ,  $\pi_{21}$  або  $\pi_{31}$ ).

Такий самий результат отримуємо під час розв'язання інших двох систем рівнянь: (4), (5), (9) та (6), (7), (10). Оскільки в кожну групу з трьох рівнянь (2), (3), (8); (4), (5), (9) та (6), (7), (10) входять різні абсолютні ПОК  $\pi_{im}$  (в інших двох системах рівнянь ці ПОК не зустрічаються), то для визначення всіх головних абсолютнох ПОК  $\pi_{im}$  в ромбічних кристалах на основі поляризаційно-оптических досліджень необхідно провести мінімум три інтерферометричні вимірювання головних ПОК  $\pi_{im}$  – по одному ПОК для кожної з трьох систем рівнянь (на приклад,  $\pi_{11}$  для системи рівнянь (2), (3), (8),  $\pi_{22}$  для системи рівнянь (4), (5), (9),  $\pi_{33}$  для системи рівнянь (6), (7), (10)). Тоді, маючи значення трьох головних абсолютнох ПОК  $\pi_{11}, \pi_{22}, \pi_{33}$ , отриманих на основі інтерферометрических вимірювань, можна визначити решту шість ПОК  $\pi_{12}, \pi_{13}, \pi_{21}, \pi_{23}, \pi_{31}$  та  $\pi_{32}$  з поляризаційно-оптических вимірювань на зразку прямих зрізів згідно з виразами (2)–(7). А формули (8)–(10) та результати вимірювання на зразках 45°-зрізів можна використовувати для перевірки достовірності значень головних ПОК, отриманих на зразку прямих зрізів.

## II. Розрахунок абсолютнох ПОК на прикладі кристалів борату стронцію ( $SrB_4O_7$ )

Наведемо приклад розрахунку абсолютнох ПОК  $\pi_{im}$  ромбічних кристалів борату стронцію на основі результатів поляризаційно-оптических вимірювань ПОК різниці ходу  $\pi_{km}^\circ$ .

У цій роботі ПОК різниці ходу  $\pi_{km}^\circ$  визначено відомим поляризаційно-оптическим методом півхвильових напружень [3, 7], коли індукована механічним напруженням  $\sigma_m = \sigma_{km}^{\lambda/2}$  різниця ходу  $\delta\Delta_k = \lambda/2$ . Тоді  $\pi_{km}^\circ$  розраховується з виразу:

$$\pi_{km}^\circ = -2\delta\Delta_k / (d_k \sigma_m) = -\lambda / (d_k \sigma_{km}^{\lambda/2}), \quad (21)$$

де  $d_k$  – товщина кристала в напрямку поширення світла  $k$ ,  $\sigma_{km}^{\lambda/2}$  – півхвильове механічне напруження (індекс  $m$  означає напрям дії сили, що створює механічне напруження у зразку),  $\lambda$  – довжина світлової хвилі. Точність визначення ПОК різниці ходу  $\pi_{km}^\circ$  становить 7–10% [9]. Знак  $\pi_{km}^\circ$  визначено за допомогою кварцового клина: “–” означає зменшення природної різниці ходу, “+” – її збільшення при дії одновісного тиску. Враховано також, що напруженням стиску приписують знак “–”. Досліджувались зразки кристалів розмірами  $\sim 8 \times 8 \times 8$  мм. Результати дослідження наведені в табл. 1.

Таблиця 1

### Результати вивчення ПОЕ в кристалах борату стронцію ( $\lambda = 632,8$ нм; $T = 20^\circ C$ )

№ з/п	Умови експерименту		$d_k \sigma_{km}^{\lambda/2}$ , кГ/см	$\pi_{km}^\circ$ , Бр
	m	k		
Зразки прямих зрізів				
1	1	2	150	$\pi_{21}^\circ = 4,28$
2	1	3	185	$\pi_{31}^\circ = -3,50$
3	2	1	165	$\pi_{12}^\circ = -3,85$
4	2	3	175	$\pi_{32}^\circ = 3,70$
5	3	1	185	$\pi_{13}^\circ = 3,55$
6	3	2	155	$\pi_{23}^\circ = -4,15$
Зразки 45°-зрізів				
7	1	4	177	$\pi_{41}^\circ = 3,55$
8	4	4	210	$\pi_{44}^\circ = -3,10$
9	2	5	173	$\pi_{52}^\circ = 3,75$
10	5	5	190	$\pi_{55}^\circ = -3,40$
11	3	6	172	$\pi_{63}^\circ = 3,80$
12	6	6	194	$\pi_{66}^\circ = -3,30$

Як видно з таблиці, п'єзооптический ефект в кристалах борату стронцію є слабкоанізоропним, оскільки коефіцієнти  $\pi_{km}^\circ$  для різних геометрій експерименту за величиною співвідносяться. При розрахунку абсолютнох ПОК  $\pi_{im}$  кристалів борату стронцію на основі (2)–(7) і (11)–(13) використані значення коефіцієнтів пружності податливості  $S_{km}$  із [22] та показників заломлення  $n_i$  із [23]:  $S_{11} = 3,5 \pm 0,1$ ;  $S_{12} = -0,9 \pm 0,5$ ;  $S_{13} = -0,33 \pm 0,3$ ;  $S_{22} = 4,1 \pm 0,3$ ;  $S_{23} = -0,5 \pm 0,4$ ;  $S_{33} = 2,8 \pm 0,1$ ;  $S_{44} = 7,2 \pm 0,1$ ;  $S_{55} = 8,3 \pm 0,2$ ;  $S_{66} = 7,5 \pm 0,1$  (усе в Брюстерах, 1Бр =  $10^{-12} \text{ м}^2/\text{Н}$ );  $n_1 = 1,7333$ ;  $n_2 = 1,7323$ ;  $n_3 = 1,7356$  (для  $\lambda = 632,8$  нм;  $T = 20^\circ C$ ). З результатів, отриманих в [23], вибрано три значення головних абсолютнох ПОК  $\pi_{im}$ , визначених інтерферометрическим методом з найменшими похибками. Це  $\pi_{21} = 0,47 \pm 0,10$  Бр для системи рівнянь (2), (3), (8),  $\pi_{12} = 0,55 \pm 0,13$  Бр для системи рівнянь (4), (5), (9) та  $\pi_{33} = -0,37 \pm 0,09$  Бр для системи рівнянь (6), (7), (10). Зауважимо, що пружний внесок  $2\Delta n_k S_{km}$  в  $\pi_{km}^\circ$ , розрахований на основі (2)–(7) для зразка прямого зрізу і на основі (11)–(13) для зразків 45°-зрізів, є малий і не перевищує 0,1% від величини  $\pi_{km}^\circ$ , що зумовлено малими значеннями двозаломлення кристалів борату стронцію. У цьо-

му полягає істотна перевага поляризаційно-оптических методів вимірювання порівняно з інтерферометричними, в яких пружний внесок іноді набагато перевищує оптичну складову [4, 5].

Розраховані на основі поляризаційно-оптических та інтерферометрических вимірювань значення абсолютнох ПОК  $\pi_{im}$  кристалів борату стронцію наведені в табл. 2.

**Таблиця 2**  
**Абсолютні ПОК кристалів борату стронцію**  
( $\lambda = 632,8$  нм;  $T = 20^\circ\text{C}$ )

$\pi_{im}$ , Бр	$\pi_{11}$	$\pi_{21}$	$\pi_{31}$	$\pi_{12}$	$\pi_{22}$	$\pi_{32}$
1	-0,20 $\pm 0,11$	<b>0,47</b> $\pm 0,10$	0,62 $\pm 0,12$	<b>0,55</b> $\pm 0,13$	-0,16 $\pm 0,14$	0,58 $\pm 0,15$
2	-0,29 $\pm 0,10$	0,47 $\pm 0,10$	0,56 $\pm 0,16$	0,55 $\pm 0,13$	-0,20 $\pm 0,11$	0,52 $\pm 0,16$
$\pi_{im}$ , Бр	$\pi_{13}$	$\pi_{23}$	$\pi_{33}$	$\pi_{44}$	$\pi_{55}$	$\pi_{66}$
1	0,44 $\pm 0,11$	0,31 $\pm 0,10$	- <b>0,37</b> $\pm 0,09$	-0,38 $\pm 0,23$	-0,76 $\pm 0,19$	-0,57 $\pm 0,24$
2	0,37 $\pm 0,12$	0,36 $\pm 0,10$	- 0,37 $\pm 0,09$	-0,35 $\pm 0,10$	-0,53 $\pm 0,15$	-0,42 $\pm 0,19$

*Примітка.* 1 – отримано на основі ПОК  $\pi_{km}^o$  та трьох ПОК  $\pi_{im}$  ( $\pi_{21}, \pi_{12}$  та  $\pi_{33}$  – виділені), визначених інтерферометричним методом; 2 – усі ПОК  $\pi_{im}$  отримано інтерферометричним методом [23].

У цій таблиці вказано також похибки визначення ПОК  $\pi_{im}$ . Похибка конкретного коефіцієнта  $\pi_{im}$

розрахована, як середньоквадратична величина від похибок доданків, які входять у співвідношення для визначення  $\pi_{im}$ :  $\pi_{km}^o$  – похибка визначення 7%,  $\pi_{21}, \pi_{12}, \pi_{33}$  – 20–24% [23],  $S_{km}$  – 1–50% [22],  $n_i < 0,01\%$  [23]. Із табл. 2 видно, що похибки поляризаційно-оптического (верхній рядок) та інтерферометричного (нижній рядок) методів визначення ПОК  $\pi_{im}$  є практично однакові. Дещо більшими є похибки визначення ПОК  $\pi_{44}, \pi_{55}, \pi_{66}$  (див. верхній рядок), оскільки співвідношення (11)–(13) для розрахунку цих ПОК є складними (детально про розрахунок похибок визначення ПОК див. у [4, 5]).

## Висновки

Встановлено співвідношення для розрахунку абсолютнох ПОК  $\pi_{im}$  ромбічних кристалів на основі поляризаційно-оптического методу дослідження ПОЕ. Експериментально визначено піхвильові напруження та відповідні ПОК різниці ходу  $\pi_{km}^o$ . Розраховані на основі коефіцієнтів  $\pi_{km}^o$  абсолютної ПОК  $\pi_{im}$  в межах похибки їх визначення співпадають за величиною з ПОК  $\pi_{im}$ , визначеними інтерферометричним методом. Перевагою поляризаційно-оптического методу вивчення ПОЕ є його мала трудоємкість порівняно з інтерферометрическими методами. Показано, що для встановлення всіх абсолютнох ПОК ромбічних кристалів на основі ПОК різниці ходу необхідно провести ще три незалежні інтерферометрическі вимірювання.

## Література

- [1] Борн М. Вольф Э. Основы оптики. – М.: Наука, 1970. – 855 с.
- [2] Коломийцев Ю.В. Интерферометры. – Л.: Машиностроение, 1976. – 295 с.
- [3] Мицик Б.Г. Фотопружність анізотропних матеріалів. – Львів: Ліга-прес, 2012. – 400 с.
- [4] Мицик Б.Г., Андрушак А.С., Гаськевич Г.І. Повне вивчення п'єзооптичного ефекту в кристалах ланганиту, УФЖ, т. **52**, № 8. – С. 800-809 (2007).
- [5] Mytsyk B.G., Andrushchak A.S., Demyanyshyn N.M. et al. Piezo-optic coefficients of  $MgO$ -doped  $LiNbO_3$  crystals, Appl. Opt., vol. **48**, N 10, p. 1904–1911 (2009).
- [6] Мыцык Б.Г., Андрушак А.С., Кость Я.П. Статистическая фотоупругость кристаллов фосфіда галлія, Кристаллографія, т. **57**, № 1. – С. 131–137 (2012).
- [7] Сонин А.С., Василевская А.С. Электрооптические кристаллы. – М.: Атоміздат, 1971. – 328 с.
- [8] Нарасімхамурти Т.С. Фотоупругие и электрооптические свойства кристаллов. – М.: Мир, 1984. – 623 с.
- [9] Mytsyk B. Methods for the studies of the piezo-optical effect in crystals and the analysis of experimental data. I. Methodology for the studies of piezo-optical effect, Ukr. J. Phys. Opt., vol. **4**, N 1, p. 1–26 (2003).
- [10] Feldman A. Measurement of the photoelastic constants of optical materials, Opt. Eng., vol. **17**, N 5, p. 453–462 (1978).
- [11] Schwab C., Robinc P. Photoelastic properties of cuprous halides, Opt. Comm., vol. **4**, N 4, p. 304–306 (1971).
- [12] Карпович И.В., Луцив-Шумский Л.Ф., Мокрый О.М. Пьезооптические постоянные кристаллов  $KH_{2(1-x)}D_{2x}PO_4$ , УФЖ, т. **32**, № 7. – С. 1016–1018 (1987).
- [13] Narasimhamurty T.S., Veerabhadrappa R.K., Pettersen H.B. Photoelastic constants of ADP, J. Mater. Sci., vol. **8**, N 4, p. 577–580 (1973).
- [14] Влох О.Г., Луцив-Шумский Л.П., Пылыпышин Б.П. Об электрооптических и пьезооптических свойствах кристаллов  $KH_2PO_4$  и  $NH_4H_2PO_4$  при высоких температурах, Кристаллографія, т. **16**, № 4. – С. 828–829 (1971).

- [15] Влох О.Г., Луцив-Шумський Л.П., Пирогов Ю.А. Фотоупругость и электрооптический эффект в кристаллах  $KH_{2(1-x)}D_{2x}PO_4$  при запрещенной деформации, УФЖ, т. 23, № 1. – С. 146–148 (1978).
- [16] Narasimhamurty T.S. Photoelastic Behavior of Rochelle Salt, Phys. Rev., vol. 186, N 3, p. 945–948 (1969).
- [17] Най Дж. Физические свойства кристаллов. – М.: Мир, 1967. – 385 с.
- [18] Горбач С.С., Пахнев А.В., Шаскольская М.П. Фотоупругие свойства кристаллов // Обзоры по электронной технике. Серия: Материалы. - М.: ЦНИИ Электроника, 1974. – № 16 (256). – 86 с.
- [19] Стадник В., Габа В. Рефрактометрія діелектричних кристалів з несумірними фазами. – Львів: Ліга-Прес, 2010. – 352 с.
- [20] Stadnyk V.J., Romanyuk M.O. Piezo optic properties of  $(NH_4)_2BeF_4$  crystals // Phys. Stat. Sol. (a). – 1996. – vol. 158, N 1. – 289–296.
- [21] Mytsyk B.G., Demyanyshyn M.N., Andrushchak A.S. et al. Piezo-optical coefficients of  $La_3Ga_5SiO_{14}$  and  $CaWO_4$  crystals: A combined optical interferometry and polarization-optical study, Opt. Mater., vol. 33, N 1, p. 26–30 (2010).
- [22] Martynyuk-Lototska I., Dudok T., Mys O., Vlok R. Elastic, piezooptic and acoustooptic properties of  $SrB_4O_7$  and  $PbB_4O_7$ , Opt. Mater., vol. 31, N 4, p. 660–667 (2009).
- [23] Mytsyk B., Demyanyshyn N., Martynyuk-Lototska I., Vlok R. Piezo-optic, photoelastic and acousto-optic properties of  $SrB_4O_7$  crystals, Appl. Opt., vol. 50, N 21, p. 3889–3895 (2011).

## СОЧЕТАНИЕ ПРЕИМУЩЕСТВ ПОЛЯРИЗАЦИОННО-ОПТИЧЕСКОГО И ИНТЕРФЕРОМЕТРИЧЕСКОГО МЕТОДОВ ДЛЯ ОПРЕДЕЛЕНИЯ АБСОЛЮТНЫХ ПЬЕЗООПТИЧЕСКИХ КОЭФФИЦИЕНТОВ РОМБИЧЕСКИХ КРИСТАЛЛОВ

Дем'янишин Н. М.

Національний університет "Львівська політехніка",  
ул. С. Бандери, 12, Львів, 79013, Україна

На примере кристаллов бората стронция описан метод определения абсолютнох пьезооптических коэффициентов ромбических кристаллов на основе пьезооптических коэффициентов разности хода, определенных поляризационно-оптическим методом. Записано соответствующие соотношения. Показано, что для определения всех двенадцати абсолютнох пьезооптических коэффициентов необходимо провести также три интерферометрических измерения.

**Ключевые слова:** поляризационно-оптический метод, пьезооптические коэффициенты, ромбические кристаллы.

78.20Нр

**УДК:** 548.0:515.511

## COMBINATION OF ADVANTAGES OF POLARIZATION-OPTICAL AND INTERFEROMETRIC METHODS FOR DETERMINATION OF THE ABSOLUTE PIEZOOPTIC COEFFICIENTS OF RHOMBIC CRYSTALS

Demyanyshyn N. M.

Physic-Mechanical Institut  
5 Naukova Str., Lviv, 79601, Ukraine

Piezooptic coefficients of propagation difference were determined with the help of polarization-optical method for strontium borate crystals. The obtained coefficients were used to determine the absolute piezooptic coefficients of rhombic crystals. The corresponding relationships were recorded. It was shown that three interferometric measurements must be conducted for determination of all twelve values of absolute piezooptic coefficients.

**Key words:** polarization-optical method, piezo-optical coefficients, rhombic crystals.

**PACS:** :

**УДК:** 548.0:515.511